

## تعیین جهت تنش‌های برجا در سازند آسماری تاقدیس رگ سفید با استفاده از نمودارهای تصویرگر

مهندی یوسفی

دانشجوی دکترا، گروه زمین شناسی، دانشکده علوم، دانشگاه بیرجند

سید مرتضی موسوی

استادیار گروه زمین شناسی، دانشکده علوم، دانشگاه بیرجند

محمد مهدی خطیب

استاد گروه زمین شناسی، دانشکده علوم، دانشگاه بیرجند

تاریخ پذیرش: ۱۳۹۶/۱۱/۲۲

تاریخ دریافت: ۱۳۹۶/۰۹/۱۷

mmoussavi@birjand.ac.ir

### چکیده

نمودارهای تصویرگر در تاقدیس رگ سفید، دو جهت تنش بیشینه افقی کنونی را نشان می‌دهند که تحت دو فاز تکتونیکی در دزفول جنوبی شامل چین خوردگی ناشی از همگرایی زاگرس و فعالیت مجدد گسل‌های پی‌سنگی توسعه یافته‌اند. در بخش شرقی شکستگی‌های کشنی القابی و ریختگی‌ها به ترتیب آزمیوت‌های N25 و N115 دارند. به دلیل عملکرد گسل امتداد لغز هندیجان-ایذه، چرخش راستگرد محور تاقدیس و تغییر در جهت شکستگی‌های القابی در بخش خمیده تاقدیس رخ داده است. از این‌رو شکستگی‌های القابی در بخش غربی منحرف شده‌اند و امتداد N70E را نشان می‌دهند و همچنین ریختگی چاه‌ها دارای امتداد N160 می‌باشند. میانگین جهات تنش افقی بیشینه کنونی در بخش‌های غربی و شرقی تاقدیس به ترتیب N25E و N70E می‌باشد. برآیند جهات تنش بیشینه افقی مشاهده شده در چاه‌های بخش غربی و شرقی تاقدیس رگ سفید در تطابق با جهات کوتاه‌شدگی افقی بدست آمده با استفاده از حل سازوکار کانونی زلزله‌ها و حرکت مطلق ورقه عربی در فروافتادگی دزفول می‌باشد. در اثر تجدید فعالیت گسل‌های راستگرد مثل هندیجان-ایذه، علاوه بر چرخش محور تاقدیس، جهت کلی کوتاه شدگی در چین‌های کمریند زاگرس می‌تواند تغییر کند و به دو امتداد در فروافتادگی دزفول تجزیه گردد.

**کلمات کلیدی:** تاقدیس رگ سفید، گسل هندیجان-ایذه، نمودار تصویرگر، تنش برجا، شکستگی القابی

### مقدمه

از چاه‌های نفت در ایران موجود است (Heidbach et al., 2009). به علاوه همه داده‌های رایج تنش برای ایران از حل سازوکار کانونی زلزله‌ها از رخدادهایی بدست می‌آیند که عموماً در عمق ۱۰ کیلومتر یا بیشتر هستند به خصوص در مناطقی که احتمالاً توسط نمک یا گسل‌های کم زاویه جدایش یافته‌اند (Rajabi et al., 2010). علاوه بر این اکثر این حل سازوکار کانونی زلزله‌ها در امتداد مرز بین ورقه‌های عربی و اوراسیا قرار دارند و نگرانی‌هایی پیرامون اعتبار اطلاعات تنش ناشی شده از زلزله نزدیک مرز های ورقه ای وجود دارد (Heidbach et al., 2009). برای مثال جهات تنش‌های منتج شده از حل فوکال مکانیزم زلزله در امتداد پهنه‌گسلی سان آندریاس و گسل سوماتران بزرگ اغلب با داده‌های بدست آمده از صنایع نفتی و قابل اعتماد ناسازگار هستند (Zoback et al., 1987; Heidbach et al., 2010). در این مطالعه ما نمودارهای تصویرگر را برای بدست آوردن جهات تنش کنونی بوسیله ریختگی‌ها (breakout fractures) و شکستگی‌های القابی (induced fractures) در سازند کربناته آسماری میدان رگ سفید در فروافتادگی دزفول جنوبی بررسی می‌کنیم و این جهات کوتاه شدگی را با جهات کوتاه‌شدگی ناشی از سازوکار زلزله‌ها مقایسه می‌کنیم.

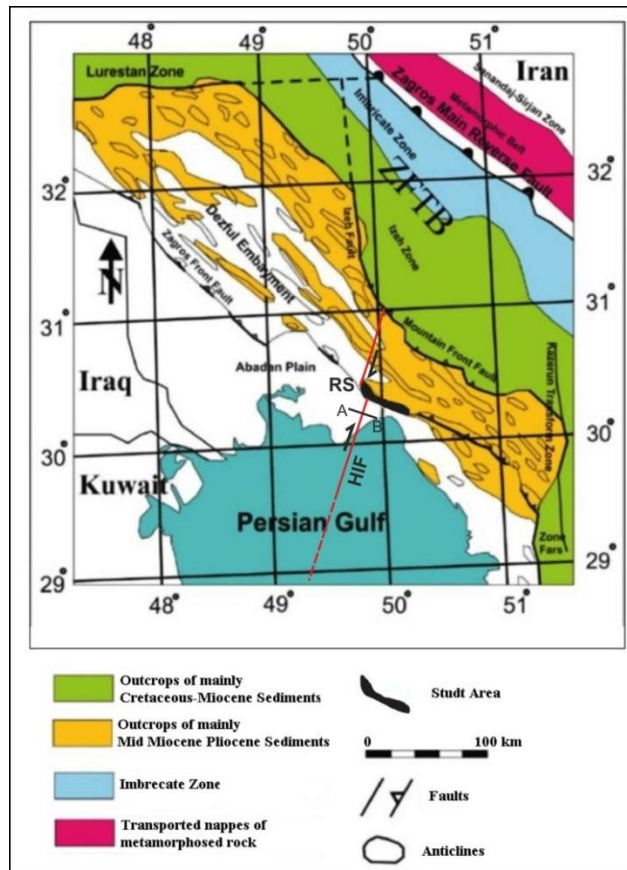
آگاهی از جهت تنش تکتونیکی زمان حال، موضوع مهم در حفاری‌های اکتشافی و تولید و به خصوص یک شخص کلیدی در پایداری چاه، الگوی زکشی و شناوری مخازن بطور طبیعی شکاف دار شده و شکستگی‌های هیدرولیکی می‌باشد (Tingay et al., 2009; Rajabi et al., 2010). حالت کنونی تنش بوسیله تعیین بردار تنش توصیف می‌شود. بطور معمول فرض شده است که یکی از تنش‌های اصلی به صورت قائم در حوضه رسوبی عمل می‌کند و بنابراین بردارهای تنش می‌توانند به ۴ مولفه ساده شوند (Bell, 1996; Tingay et al., 2009). از این ۴ مولفه، تعیین جهت تنش بیشینه افقی ( $S_{Hmax}$ ) توجهات زیادی را در ۲۰ ساله اخیر بخصوص برای کنترل تنش‌های برجا در جریان یافتن سیالات زیرسطحی و فعالیت مجدد گسل به خود جلب کرده است (Tingay et al., 2010). آگاهی از جهت تنش کنونی به خصوص برای ایران دارای اهمیت است که دارای اکتشافات هیدرولیکی بالغ و صنایع تولیدی بزرگی می‌باشد و همچنین در معرض تنش‌های وابسته به خطرات طبیعی از جمله زلزله می‌باشد (Rajabi et al., 2010).

تاکنون پایگاه داده‌های نقشه جهانی تنش اطلاعات بسیار کمی از وضعیت تنش کنونی برای ایران را ارائه داده است؛ مضار بر اینکه داده‌های محدودی

در امتداد بخش جنوب غربی ساختار دیده می‌شود و سازندهای قدیمی تر از میشان در سطح زمین رخنمون ندارند. این تاقدیس در افق مخزنی آسماری دارای طول تقریبی ۵۴ کیلومتر و عرض متغیر<sup>۴</sup> تا ۵/۵ کیلومتر در بخش جنوب شرق و ۵ تا ۸/۳ کیلومتر در بخش شمال غرب می‌باشد. تاقدیس مذکور از نوع نامتقارن، و شبیه زیاد در یال جنوب غربی متأثر از گسل‌های تراستی فراوان در یال جلویی می‌باشد. این تاقدیس بروای افق آسماری دارای دو کوهانک یا بر جستگی با دو روند محوری متفاوت می‌باشد: بر جستگی یا کوهانک جنوب شرقی که کمترین عمق دسترسی به آن حدود ۱۷۵۰ متری زیر سطح دریا است و دارای روند محوری شمال غرب-جنوب شرق است که در منتهی الیه جنوب شرق توسط گسل عادی با جهت شبیه احتمالی شمال شرق از تاقدیس بی بی حکیمه جدا می‌گردد. همچنین بر جستگی یا کوهانک شمال غربی که کمترین عمق دسترسی به آن حدود ۱۳۴۰ متر زیر سطح دریا است و دارای روند تقریباً شمالی-جنویی می‌باشد و روند محور تاقدیس نسبت به جهت عمومی میدان حدود ۳۰° درجه به سمت شمال چرخش پیدا کرده است.

### زمین شناسی ناحیه‌ای و ساختاری تاقدیس رگ سفید

فروفاتدگی دزفول (شکل ۱) بخشی از پیش گودال (ForeDeep) زاگرس می‌باشد که در آن سازند آسماری فاقد رخنمون است. در مورد زمان شروع شکل‌گیری فروافتادگی دزفول، اگر چه قدیمی ترین شواهد حركتی در کرتاسه بالایی دیده شده است اما بنظر میرسد ساختمان‌های درون این فروافتادگی و خطوارهای محاط آن احتمالاً در تریاس و ژوراسیک فعال بوده‌اند که این فعالیت تا میوسن میانی همچنان ادامه داشته است. بنابراین در شکل‌گیری این فروافتادگی و تکوین کمریند چین خورده-تراستی زاگرس، گسل‌ها و خطوارهای پی سنجی قطر-کازرون، ایده، خمش‌های بالارود و جبهه کوهستانی مؤثر بوده (Sepehr and Cosgrove, 2004). از لحاظ ساختاری تاقدیس رگ سفید در بخش جنویی فروافتادگی دزفول از زیر پهنه زاگرس چین خورده قرار دارد. این تاقدیس به شکل بومرنگ در جنوب غرب ایران و در ۱۵۰ کیلومتری جنوب شرق اهواز واقع شده است. رخنمون‌های سطح‌الارضی در این منطقه متخلک از تپه‌های ماهوری‌های کم ارتفاع از سازند آغازگاری می‌باشد. سازند میشان فقط در دو پنجه فرسایشی

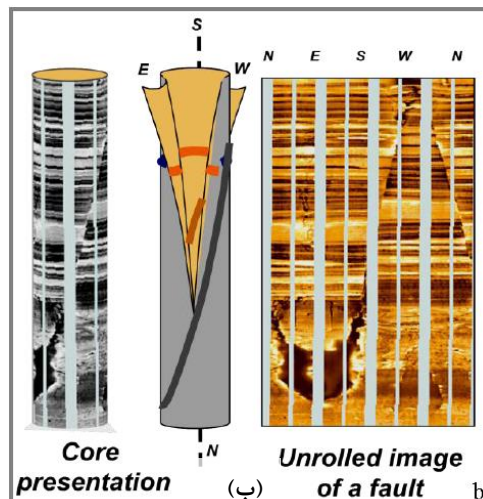
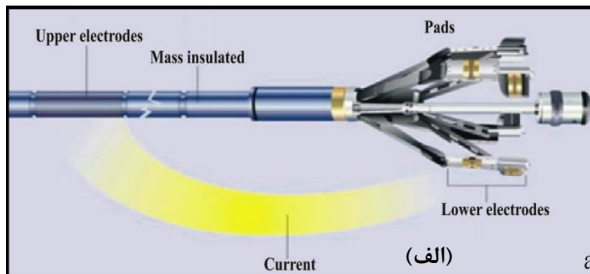


شکل ۱. نقشه زمین شناسی بخش جنوبی کمریند زاگرس و موقعیت تاقدیس رگ سفید (Ganadian et al., 2017). امتداد AB، مکان نیمرخ بازتابی عمود بر گسل هندیجان-ایذه را نشان می‌دهند. HIF: گسل هندیجان-ایذه و RS: تاقدیس رگ سفید می‌باشند.

**روش مطالعه**

تخلخل و محتوای سیال حساس هستند که شکستگی‌های طبیعی و فلزیک سنگ را بر جسته و نمایان می‌کنند. در این مطالعه نمودارهای تصویرگر با نرم افزار GEOMATRIX پردازش و تفسیر می‌شوند. زمانی که تصویر باز شود و در بازه آزمومتی ۰ تا ۳۶۰ درجه نمایش داده شود، شکستگی‌های خطی طبیعی که محور چاه را قطع می‌کنند، به صورت موج سینوسی تظاهر می‌یابند. نمایش دو بعدی تصاویر الکتریکی و صوتی دیواره چاه به شکل یک سیلندر باز شده می‌باشد که از شمال مناطقی (N) شکاف داده شده است. در این تصاویر عوارض صفحه‌ای (برای مثال مرزهای لایه‌بندی، گسل‌ها و شکستگی‌ها) که دیواره استوانه‌ای شکل چاه را با زاویه ای نسبت به افق قطع می‌کنند یعنی یک مولفه شیب دارند که به صورت منحنی سینوسی شکل ظاهر می‌یابند. دامنه این منحنی سینوسی تابعی از زاویه شیب است به شکلی که در یک چاه بدون انحراف، بزرگی شیب متناسب با دامنه سینوسی است و آزمومت شیب نیز به سمت پائین ترین نقطه موج سینوسی شکل قرار می‌گیرد (شکل ۲ ب). که نهایتاً اطلاعات اساسی را درباره سازند ها ایجاد می‌کند که دیگر نمودارهای تصویرگر قادر به ایجاد آن نیستند. تصاویر در محل چاه‌ها تولید می‌شوند و آنالیز ها دقیق داده های تصاویر با نرم افزارهای قدرتمند انجام می‌شوند. هدف اصلی در این بخش مطالعه سیستماتیک ریختگی‌ها و شکستگی‌های القایی و تعیین جهت تنش‌های بیشینه افقی در سازند مخزنی آسماری در میدان رگ سفید است.

ابزار تصویرگر می‌تواند بطور وسیعی در محیط‌های زمین شناسی و حفاری بکار روند که تصاویری از بدنه سنگی چاه از کربناته های کارستیک تا سکانس های شبیه مارنی را تهیه می‌کنند. جنبه‌های کاربردی این ابزار تصاویر با کیفیت و پوشش کامل از درون چاه می‌باشد. نمودار تصویرگر یک تصویر از بدنه چاه است که خصوصیات دیواره چاه از جمله مقاومت الکتریکی و صوتی را نشان می‌دهد. درروش اول مقاومت دیواره چاه به تصاویری با وضوح بالا از دیواره چاه تبدیل می‌شوند. ۲، ۴، ۵ یا ۸ بالشتک در ابزارهای تصویری وجود دارد (شکل ۲ الف). هر بالشتک قسمت محدودی از دیواره چاه را پوشش می‌دهد (Serra, 1989). چیدمان الکترودهای EMI روی ۶ گسل را مستقل نصب شده اند که بهترین تماس بالشتک را ایجاد می‌کنند که این مورد تصاویری بسیار باکیفیت را برای آنالیزهای استراتیگرافیکی و ساختاری ایجاد می‌کنند (Serra, 1989). لایه بندی، شکستگی‌ها، گسل‌ها، رخسارهای استراتیگرافیکی و بسیاری دیگر از ویژگی‌ها می‌تواند بطور دستی یا نیمه اتوماتیک تشخیص داد شوند (Ye and Rabiller, 1998). علاوه بر تشخیص شکستگی‌ها و گسل‌ها، ابزار تصویرگر چاه‌ها بطور معمول در تأیید آنالیز مغزه گیری برای کاربردهای متنوع دیگر از جمله سکانس استراتیگرافی، بازسازی رخسارهای و آنالیزهای دیاگنیکی استفاده می‌شوند (عقلی و همکاران, ۱۳۹۳). در کل، تصاویر الکتریکی نسبت به تنوع کانی شناسی و

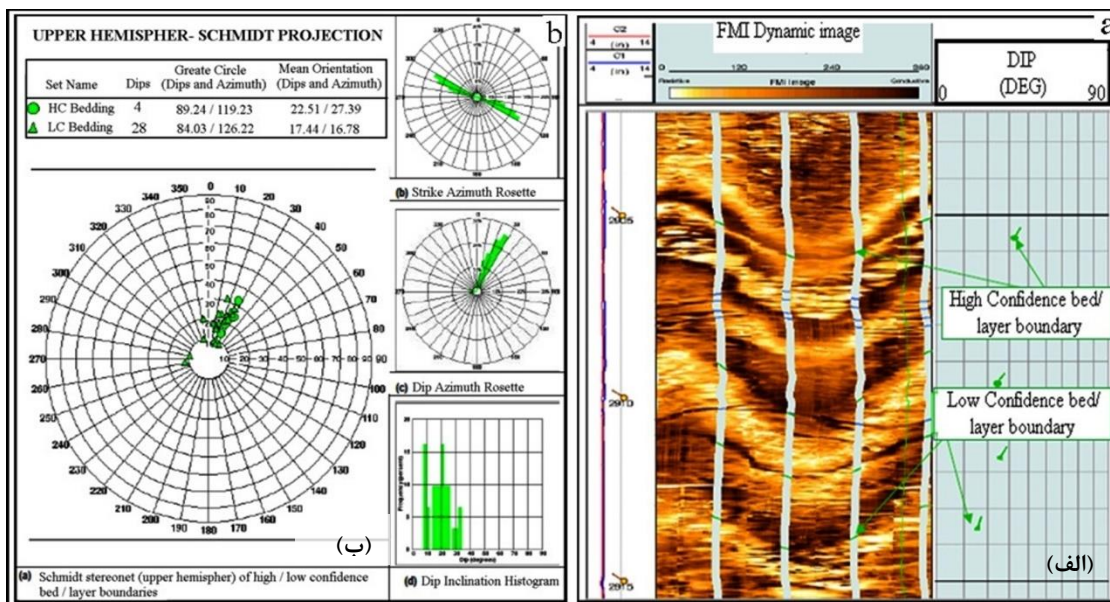


شکل ۲(الف). ابزار FMI و بالشتک‌های آن (Serra, 1989). (ب): تصویر دو بعدی برای محاسبه شیب و جهت شکستگی با استفاده از نمودار تصویرگر (Soleimani et al., 2016).

های سازند آسماری دارای لایه بندی به شکل مطبق هستند و از لایه های مقاوم و متخلخل آهکی با ضخامت های متفاوت تشکیل شده است (شکل ۳الف). در مجموع ۳۲ مرز لایه بندی از نمودار های تصویری FMI استخراج شد. اکثر مرزهای لایه بندی به اندازه کافی واضح نیست که عمدتاً به دلیل فرایندهای دیاژنتیکی قابل مشاهده نیستند. همانطور که گفته شد، از آنجایی که دقت شیب ساختاری وابسته به صفحه ای بودن و آشکاری مرزهای لایه بندی است، مرز های لایه بندی در دسته های اعتبار بالا و کم اعتبار دسته بندی می شوند. در چاه رگ سفید (RS-D)، تعداد ۴ مرز لایه بندی کمتر وجود دارد که در دسته باعتبار بالا قرار میگیرد و ۲۸ مرز لایه بندی کمتر واضح و نسبتاً مبهم وجود دارد که در دسته کم اعتبار میگیرند. از آنجایی که تعداد مرزهای لایه بندی با اعتبار زیاد کمتر هستند، بنابراین شیب های لایه بندی با اعتبار کم برای تعیین شیب ساختاری در نظر گرفته می شوند. در این چاه طرح های آماری شیب های لایه بندی در (شکل ۳ب) نشان داده شده است که میانگین شیب ۲۲/۵ به سمت جهت N27E و امتداد لایه بندی N63W-S63E را نشان می دهد. همچنین نتایج تحلیل شیب نشان می دهد در چاه (RS-G) واقع در بخش غربی تاقدیس، میانگین شیب ۵۱ به سمت جهت S65W و امتداد لایه بندی N25W-S25E می باشد.

### توصیف ساختاری شیب

مرزهای لایه بندی در سکانس های کربناته به دلیل فرایندهای دیاژنتیکی در جهت تعیین شیب ساختاری، معمولاً واضح و صفحه ای نیستند. در خطوط نمودارهای EMI و FMI، مشخص شدن سریع و اختلاف مقاومت به نسبت زیاد که همه تصاویر را قطع کند، برای شناسایی مرزهای لایه بندی قابل ارائه می باشد. این خطوط به راحتی از یک بالشتک به بالشتک دیگر قابل اطباق هستند و در تصاویر استاتیک آشکار و واضح هستند. خطوط این نمودارها مشابه سطوح یا مرزهایی هستند که دولایه با لیتولوژی متفاوت را از هم جدا می کنند (Serra, 1989). دو روش برای تشخیص لایه بندی قابل شناسایی است: دسته اول که در آن شیب ها مشابه با مرزهای لایه بندی، آشکار و صفحه ای هستند و در دسته با اعتبار بالا قرار می گیرند (HC) در حالیکه در دسته دوم، شیب ها مشابه سطوح لایه بندی غیرآشکار و مبهم هستند و در دسته با اعتبار پایین قرار می گیرند (LC). از نمودارهای تصویرگر ۲ حلقه چاه در تقدیس رگ سفید برای مطالعه سیستم های شکستگی وابسته به چین و گسل استفاده می کیم. برای مثال نمودارهای تصویرگر چاه رگ سفید (RS-D) واقع شده در دامنه شمال شرقی ساختمان (شکل ۹)، جهت محاسبه ویژگی های هندسی مثل لایه بندی و الگوی شکستگی های برجا نشان داده شده است. به جز بعضی فوائل کوتاه، تمام مقاطع نمودار



شکل ۳ (الف). مرزهای واضح و صفحه ای، شیب های لایه بندی با اعتبار بالا (HC) را در سازند آسماری چاه رگ سفید (RS-D) را در سازند آسماری چاه رگ سفید (RS-D) نشان می دهد. همچنین مرزهای ناآشکار و مبهم، شیب های لایه بندی با اعتبار کم (LC) را در سازند آسماری چاه رگ سفید (RS-D) نشان می دهد. (ب)، طرح های آماری مربوط به شیب همه مرزهای لایه بندی با اعتبار و کم اعتبار در سازند آسماری چاه رگ سفید (RS-D).

(رابطه ۵)

$$\sigma_{\theta\theta} = (S'_{H\max} + S'_{H\min}) - 2(S'_{H\max} - S'_{H\min}) \cos 2\theta - \Delta P \quad (6)$$

(رابطه ۶)

$$\sigma_{rr} = 0 \quad (7)$$

(رابطه ۷)

$$\sigma_{zz} = S'_{v} - 2v(S'_{H\max} - S'_{H\min}) \cos 2\theta - P_p \quad (8)$$

اگر در رابطه ۵ مقادیر صفر و  $90^\circ$  در نظر گرفته شود یعنی به ترتیب آزمیوت تنش حداکثر ( $S_{H\max}$ ) و حداقل ( $S_{H\min}$ ) از روابط زیر به دست می‌آید.

(رابطه ۸)

$$\theta = 0 \Rightarrow \sigma_{\theta}^{\min} = 3S_{H\min} - S_{H\max} - P_w - P_p \quad (9)$$

(رابطه ۹)

$$\theta = 90 \Rightarrow \sigma_{\theta}^{\max} = 3S_{H\max} - S_{H\min} - P_w - P_p \quad (10)$$

از روابط قبل می‌توان دریافت که حداکثر تمرکز تنش در  $\theta = 90^\circ$  بدست می‌آید. اگر معادله حلقه تنش برای رابطه (۵) رسم شود (شکل ۵) نقاط  $\theta = 90^\circ$  و  $\theta = 0^\circ$  به ترتیب منطبق بر حداکثر و حداقل تمرکز تنش می‌باشد. اگر چنانچه مطابق شکل ۵ تمرکز تنش فرااتر از مقاومت فشاری سنگ دیواره شود، به اصطلاح خردشگی، بازشدنگی یا پوسته‌ای شدن دیواره مشاهده می‌شود که ناشی از شکستهای فشاری می‌باشد. مقدار خردشگی بر حسب زاویه بازشدنگی اندازه‌گیری شده، که به آن عرض خردشگی می‌گویند (Tingay et al., 2008). ایجاد این شکستگی‌های القایی در دیواره چاه با در نظر گرفتن شرایطی خاص می‌تواند، نشان دهنده امتداد میدان تنش‌های اصلی کنونی باشد. طوبیل شدنگی دیواره چاه با توسعه سطوح برشی متقاطع ایجاد می‌شوند که در اثر آن بخشی از دیواره چاه ریخته می‌شود (شکل ۵). تنش تمرکز یافته حول چاه قائم در جهت تنش افقی کمینه ( $S_h$ )، بیشترین مقدار را دارد است. بنابراین محور بزرگ ریختگی‌ها تقریباً عمود بر تنش بیشینه فشارشی افقی جهت دار می‌شود ( $S_H$ ; Plumb and Hickman, 1985). شکستگی‌های القایی زمانی رخ می‌دهند که تنش‌های محاطی از مقاومت کششی سنگ کمتر شود؛ و در نتیجه شکستگی‌های کششی در دیواره چاه ایجاد می‌شوند (Aadnoy, 1990). شکستگی‌های القایی در قالب سیمه‌های باریک و واضح توسعه می‌یابند که تقریباً به موازات محور چاه توسعه می‌یابند (شکستگی‌های القایی و ریختگی‌ها ممکن است در اعماق یکسان و در جهات عمود برهم تشکیل شوند). تمرکز تنش اطراف چاه قائم در جهت  $S_H$  کمترین مقدار است بنابراین شکستگی‌های القایی تقریباً به موازات جهت  $S_H$  تشکیل می‌شوند (شکل ۵).

تعیین جهت تنش‌های بر جا با استفاده از نمودارهای تصویرگر

ریختگی چاه‌ها (borehole breakout) و شکستگی‌های القایی (induced fracture)، شاخص‌های مهمی برای تعیین جهت گیری تنش‌های افقی بخصوص در مناطق بی‌لرزه و عمق‌های متوسط (کمتر از ۵ کیلومتر) هستند. تقریباً ۱۹ درصد از نشانگرهای جهت گیری تنش در پایگاه داده‌های نقشه جهانی تنش از ریختگی‌ها و شکستگی‌های القایی مشخص شده‌اند. علاوه بر این ریختگی‌های چاه و شکستگی‌های القایی، اکثربت جهت گیری تنش در سیستم‌های نفتی و ژئوترمال را ایجاد می‌کنند (Tingay et al., 2008). ریختگی‌های چاه، طوبیل شدنگی القا شده در اثر تنش‌ها در مقطع چاه هستند (Bell, 1996). وقتی که حفاری صورت می‌گیرد در حقیقت میدان تنش را در منطقه محل حفاری بهم می‌ریزد. چاه که یک منطقه کم فشار محسوب می‌شود، در داخل سازند پرفشار حفاری شده است و از آنجایی که در عمق که تمامی منافذ با سیالات پر شده است، درنتیجه فشار هیدروستاتیک نقش اصلی را در تغییر شکل اطراف چاه بازی می‌کند. با توجه به اینکه همیشه سیالات تمایل دارند از محل پرفشار به محل کم فشار حرکت کنند، این پدیده باعث تغییر تنش بر جا می‌شود. با فرض اینکه  $S_v$  تنش اصلی  $\sigma_{ij} = S_{ij} - \delta_{ij} P_p$  (در اطراف چاه قائم) به شعاع  $R$  در دستگاه مختصات استوانه‌ای براساس فرمول معروف کرش (Kirsch) (مطابق روابط زیراست(شکل ۴)).

(رابطه ۱)

$$\sigma_{\theta\theta} = \frac{1}{2}(S'_{H\max} + S'_{H\min})(1 + \frac{R^2}{r^2}) - \frac{1}{2}(S'_{H\max} + S'_{H\min})(1 + 3\frac{R^4}{r^4}) \cos 2\theta - \frac{\Delta PR^2}{r^2} \quad (11)$$

(رابطه ۱۱)

$$\sigma_{rr} = \frac{1}{2}(S'_{H\max} + S'_{H\min})(1 - \frac{R^2}{r^2}) + \frac{1}{2}(S'_{H\max} - S'_{H\min})(1 - 4\frac{R^2}{r^2} + 3\frac{R^4}{r^4}) \cos 2\theta + \frac{\Delta PR^2}{r^2} \quad (12)$$

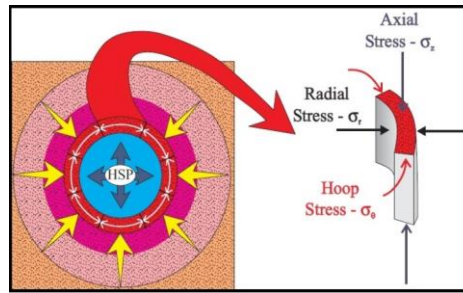
(رابطه ۱۲)

$$\tau_{r\theta} = \frac{1}{2}(S'_{H\max} + S'_{H\min})(1 + 2\frac{R^2}{r^2} - 3\frac{R^4}{r^4}) \sin 2\theta \quad (13)$$

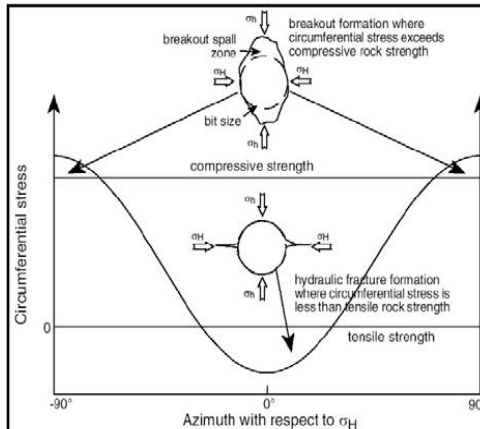
(رابطه ۱۳)

$$\sigma_{zz} = S'_v - 2v(S'_{H\max} - S'_{H\min}) \cos 2\theta - P_p \quad (14)$$

که  $\tau_{r\theta}$  تنش برشی شعاعی،  $v$  نسبت پواسون،  $\Delta P$  اختلاف فشار گل و فشار منفذی ( $P_w - P_p$ ) و  $\theta$  زاویه‌ای است که از آزمیوت  $S_{H\max}$  اندازه‌گیری می‌شود. سه تنش اصلی موجود در دیواره چاه مطابق شکل ۴ به صورت زیر می‌باشند: تنش مؤثر شعاعی که عمود بر چاه عمل می‌کند، تنش محوری مؤثر که موازی با محور چاه عمل می‌کند و تنش مماسی مؤثر که عمود بر صفحه و می‌باشد.



شکل ۴. تبدیل تنش بر جا به تنش القایی در یک چاه قائم (Tingay et al., 2008) شامل تنش‌های مماسی ( $\sigma_{\theta\theta}$ )، محوری ( $\sigma_z$ ) و شعاعی ( $\sigma_r$ ).



شکل ۵. مقطع شماتیک از ریختگی‌ها و شکستگی‌های القایی (Tingay et al., 2008). ریختگی‌ها زمانی شکل می‌گیرند که تنش‌های محاطی اطراف چاه از مقاومت فشارشی چاه بیشتر شوند و بنابراین به موازات تنش افقی کمینه ( $\sigma_H$ ) قرار می‌گیرند. شکستگی‌های القایی زمانی شکل می‌گیرند که تنش‌های محاطی از مقاومت کششی سنگ کمتر شود و در نتیجه به موازات محور تنش افقی بیشینه ( $\sigma_H$ ) قرار می‌گیرند.

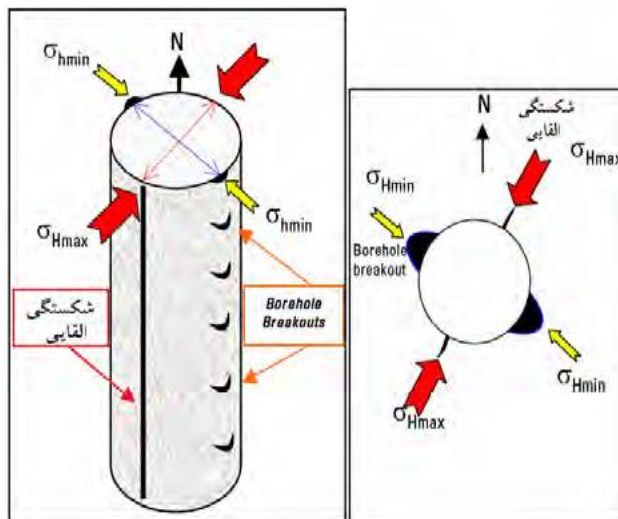
#### جهت گیری تنش‌های افقی بیشینه در تاقدیس رگ سفید

از نمودارهای تصویرگر برای محاسبه امتداد تنش زمان حال در فروافتادگی دزفول جنوبی استفاده می‌شود و این جهات تنش را با میانگین جهات کوتاه شدگی بدست آمده از شکستگی‌های وابسته به چین و گسل مقایسه می‌شوند. کشیدگی پیرامون چاه قائم در جهت عمود بر جهت  $S_H$  قرار دارد. بنابراین ریختگی چاه‌ها عمود بر جهت تنش بیشینه کنونی چاه دارد. نمودارهای تصویرگر همچنین می‌توانند برای تفسیر شکستگی‌های القایی که به موازات جهت تنش بیشینه افقی، ما ریختگی شوند (Bell, 1996). برای تعیین جهت تنش‌های بیشینه افقی، ما ریختگی ها و شکستگی‌های القایی در دو چاه شامل چاه رگ سفید (RS-D) و بخش شرقی و چاه رگ سفید (RS-G) در بخش غربی تاقدیس رگ سفید را تفسیر کردیم. شکستگی‌های القایی در چاه رگ سفید (RS-D) دارای امتداد N25E هستند (شکل ۷). بر پایه جهت شکستگی‌های القایی در دیواره تنش افقی بیشینه هستند، جهت تنش افقی بیشینه کنونی در بخش شرقی تاقدیس رگ سفید (RS-G) در چاه رگ سفید (N25E) می‌باشد (شکل ۹).

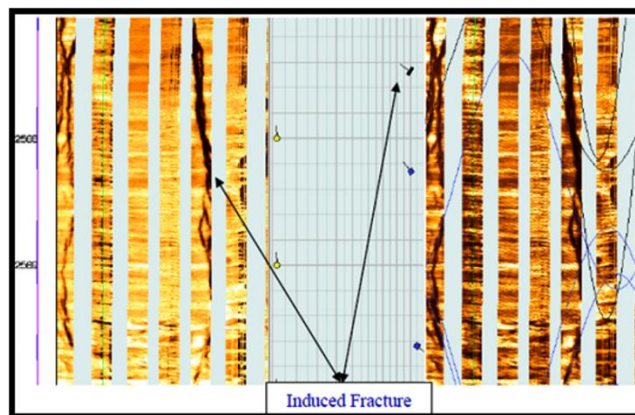
ریختگی‌ها در چاه رگ سفید (RS-G) دارای امتداد N20W هستند (شکل ۸). بر پایه جهت گیری ریختگی‌های چاه که عمود بر جهت تنش بیشینه افقی هستند، امتداد تنش بیشینه افقی در بخش غربی تاقدیس رگ سفید (N70E) می‌باشد (شکل ۹).

در مواردی که وزن گل حفاری یا تنش شعاعی (Radial stress) بسیار پایین باشد، حداقل تنش محاطی از تنش شعاعی بیشتر می‌شود. در این حالت، اعمال تنشهای برشی بر دیواره چاه، موجب بیضی شدگی چاه می‌شوند. این پدیده در تصاویر FMI به صورت دو ناحیه پهن و تیره و با اختلاف فاز ۱۸۰ درجه، دیده می‌شود. در مقابل در حالتی که وزن گل حفاری بسیار زیاد باشد، تنش شعاعی افزایش یافته و تنش مماسی کاهش می‌یابد. در چنین حالتی سنگهای دیواره چاه تحت تنش کششی قرار گرفته و شکستگی‌های کششی در دیواره چاه رخ می‌دهند. شکستگی‌های ایجاد شده در اصطلاح شکستگی‌های القایی حفاری (Drilling Induced Fracture) نامیده می‌شوند که تحت نفوذ سیالات حفاری قرار می‌گیرند و نیز به صورت دو شکستگی با ۱۸۰ درجه اختلاف فاز دیده می‌شوند (Aadnoy, 1990).

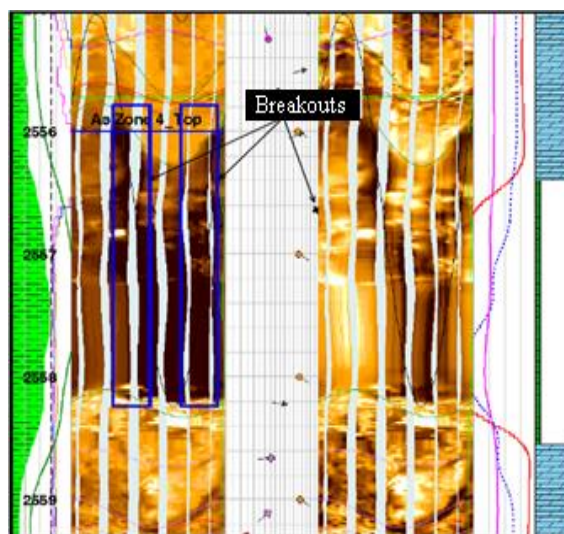
موقعیت تنش‌ها و شکستگی‌های ایجاد شده در تصاویر حاصل از FMI در (شکل ۶) نشان داده شده است. ایجاد این شکستگی‌های القایی در دیواره چاه با در نظر گرفتن شرایطی خاص می‌تواند، نشان دهنده امتداد میدان تنش‌های اصلی کنونی باشد. علیرغم شکستگی‌های طبیعی که تمایل دارند دیواره چاه را قطع کنند، شکستگی‌های القایی تقریباً به موازات محور چاه - های قرار می‌گیرند (Tingay et al., 2008).



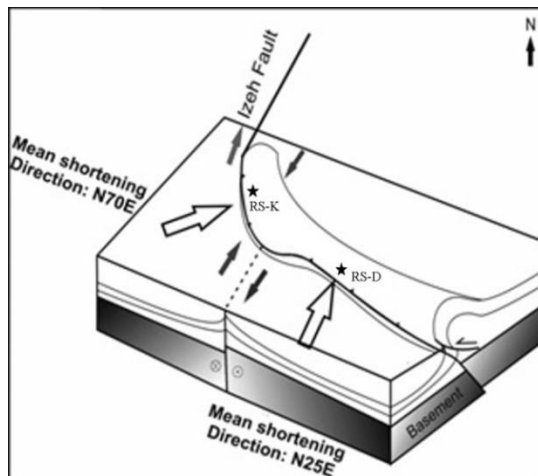
شکل ۶. شکستگی های ناشی از حفاری در راستای تنש های افقی بیشینه و کمینه.



شکل ۷. شکستگی القابی تفسیر شده از نمودار تصویرگر در چاه رگ سفید (RS-D). شکستگی های القابی سیماهای باریک و خطی هستند که با اختلاف فاز ۱۸۰ درجه به موازات محور چاه ظاهر می شوند. شکستگی های القابی در بخش بیشینه افقی در بخش شرقی تاقدیس رگ سفید نشان می دهند.



شکل ۸. ریختگی های تفسیر شده از نمودار تصویرگر در چاه رگ سفید (RS-G). ریختگی های در نمودارهای تصویرگر این چاه در قالب مناطق نیره رنگ و خرد شده در امتداد های قابل مشاهده هستند. ریختگی ها، امتداد N70E را برای تنش بیشینه افقی در بخش غربی تاقدیس رگ سفید نشان می دهند.



شکل ۹. مدل شماتیک از منطقه مطالعاتی نشانگر جهات تنش بیشینه افقی کنونی برای بخش شرقی و غربی تاقدیس رگ سفید که از شکستگی های القایی و ریختگی چاه ها بدست آمده اند. جهت تنش بیشینه افقی کنونی عمود بر امتداد کلی چین در هر بخش می باشد.

این مطالعه تنش های افقی بیشینه بوسیله تفسیر ریختگی ها و شکستگی های القایی در نمودار های تصویرگر بدست آمد. میانگین جهت کوتاهشدنی بدست آمده از ریختگی ها ( $70^{\circ}\text{E}$ ) در پهنه گسل هندیجان-ایذه تقریباً عمود بر روند عمومی شمال، شمال غربی - جنوب، جنوب شرقی بخش غربی تاقدیس رگ سفید است. این میانگین جهت کوتاهشدنی در غرب تاقدیس رگ سفید مطابق با جهت کوتاه شدنی بدست آمده بوسیله شکستگی های القایی بیرون پهنه گسل نیست. لذا پیشنهاد می شود که در اثر تجدید فعالیت گسل های راستگرد مثل هندیجان-ایذه، علاوه بر چرخش محور تاقدیس، جهت کلی کوتاهشدنی در کلیت چین های کمرنند زاگرس (امتداد شمال شرقی) می تواند تغییر کند و به دو امتداد در فروافتادگی دزفول تجزیه گردد. اگرچه برآیند دووجهت کوتاه شدنی (جهت کوتاه شدنی N25E در بخش شرقی و جهت کوتاه شدنی N70E در بخش غربی تاقدیس رگ سفید) دارای امتداد شمال شرقی است که با جهت کوتاه شدنی کلی زاگرس در تطابق است. همچنین تطابق بین جهات تنش بیشینه افقی کنونی بدست آمده از ریختگی ها در دزفول جنوبی و حل سازوکار کانونی زلزله ها در پروژه WSM دارای اهمیت زیادی می باشد. حل سازوکار کانونی زلزله ها در درصد از پایگاه داده های را شامل می شود (Heidbach et al., 2010). جهت گیری تنش تفسیر شده از حل سازوکار کانونی بیان می دارد که حرکات زلزله در امتداد گسل های رخ می دهد که با جهت کنونی تنش، بهینه شده باشند. آنالیز جهات تنش از روش های گوناگون نزدیک مرز ورقه ها معلوم نموده که بعضی از مزهای ورقه ای، بطور ویژه گسل سان آندریاس و گسل سوماتران بزرگ بطور مکانیکی ضعیف هستند (ضریب اصطکاک داخلی پایین) و ممکن است بوسیله حالت نابهینه و میادین تنش بسیار مورب تجدید فعالیت کنند (Zoback et al., 1987). از اینرو خطاهای احتمالی بزرگتر در جهات تنش بدست آمده از حل سازوکار کانونی زلزله نزدیک مرزهای ورقه ها وجود دارد و این داده ها باید به عنوان داده های با قابلیت اعتباری کم در نظر گرفته شوند (Rajabi et al., 2010; Heidbach et al., 2010; NNE and ENE) نتایج ما نشان می دهد برآیند جهات تنش بیشینه افقی (ENE) مشاهده شده به ترتیب در چاه های واقع در بخش شرقی و غربی تاقدیس رگ سفید که بوسیله ریختگی ها و شکستگی های القایی بدست آمده اند، با جهات بدست آمده از حل سازوکار کانونی زلزله و حرکت مطلق

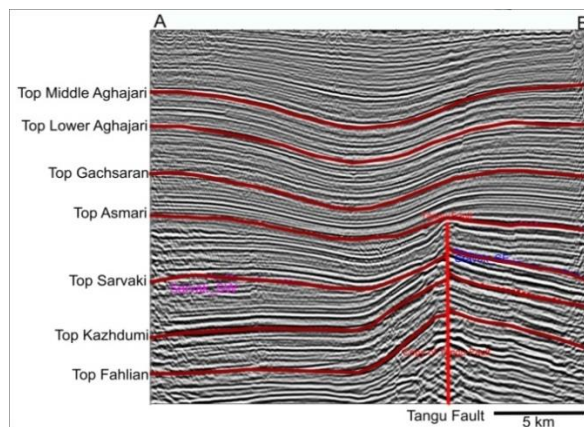
### بحث

برپایه نقشه توپوگرافی و هم ضخامت که نشانگر تغییرات ضخامت در حوضه زاگرس بین فارس، ایذه، فروافتادگی دزفول و لرستان در خلال ژوراسیک پایینی تا کرتاسه بالایی هستند (Abdollahie Fard et al., 2006; Sepehr and Cosgrove, 2004) گسل پی سنگی هندیجان-ایذه دارای امتداد N20E می باشد. مقطع لرزه ای که بطور عمود بلندی قدیمه هندیجان-ایذه را قطع می کند (شکل ۱۰)، نشانگر کم ضخامت شدنی کرتاسه پایینی سازند فهلیان تا پلیوسن بالایی سازند آغازی است که هم زمان با فعالیت گسل و برخاستگی بلندی هندیجان-ایذه در خلال کرتاسه و ترشیاری است. ضخیم شدنی سازند آغازی بالایی نشانگر شروع حرکات زاگرس است که برخاستگی گسل هندیجان-ایذه را بوسیله نهشتگی زیاد آغازی بالایی تا رسوبات عهد حاضر را متوقف می کند (Abdollahie Fard et al., 2006).

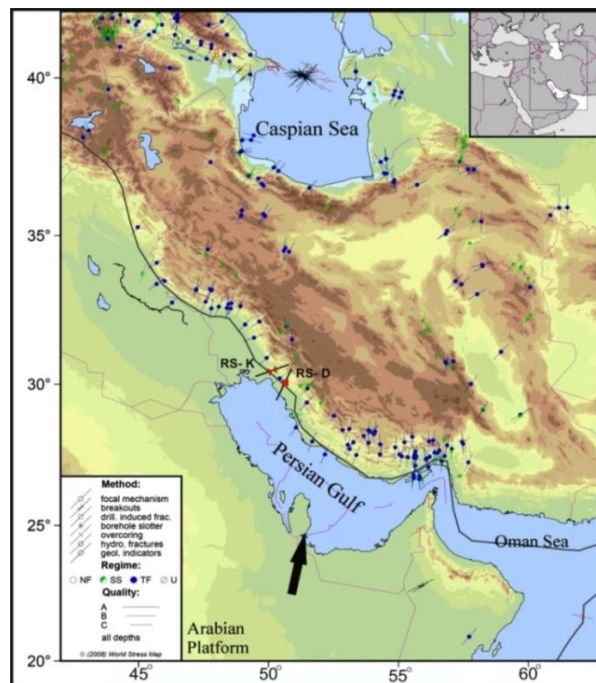
گسل پی سنگی و راستگرد هندیجان-ایذه با امتداد N020E در دزفول جنوبی دارای دو قطعه مواری هم است که خم فشارشی و پهنه گسلی راستگرد را در بخش غربی تاقدیس رگ سفید ایجاد کرده است (شکل ۹). تشکیل این پهنه برش، موجب چرخش راستگرد در محور تاقدیس، برخاستگی بیشتر در کوهانک شمال غربی شمال سراساند آسماری نسبت به کوهانک جنوب شرقی، تشکیل دسته های جدید شکستگی و همچنین توسعه و افزایش تراکم شکستگی در بخش خمس پافته تاقدیس رگ سفید می شود. گسل عرضی هندیجان-ایذه با امتداد شمال شمال شرقی-جنوب غربی بعضی تاقدیس ها را بصورت کشیدگی در محور و چرخش دگرگشکل کرده است و یک سیستم جدیدی از شکستگی ها را ایجاد می کند. تاقدیس رگ سفید در امتداد گسل هندیجان-ایذه جایجا شده است به نحوی که امتداد اثر محوری آن از حالت اصلی W $68^{\circ}\text{W}$  بیرون پهنه برشی به امتداد N20 $^{\circ}\text{W}$  درون پهنه برشی تغییر کرده است (شکل ۹). به دلیل چرخش محور تاقدیس رگ سفید در پهنه برشی هندیجان-ایذه، تعیین جهت و میزان زاویه چرخش با مقایسه جهت گیری شکستگی های القایی در پهنه گسلی و بیرون آن امکان پذیر است. مقدار چرخش چین ها در پهنه برش هندیجان-ایذه که بوسیله جهت تنش افقی بیشینه کنونی ارائه می شود، به تابعیت از جهت گیری گسل هندیجان-ایذه و تطابق با جهت برش راستگرد پهنه گسل تغییر می کند. در

شکستگی های باز را در منطقه مطالعاتی قطع می کنند (شکل ۸). انحراف از چاه ها بطوف تنش بیشینه ماکزیمم، تنش های تفاضلی مطلق و نسبی عمل کننده بر دیواره چاه را کم می کنند؛ بنابراین ریختگی ها و مشکلات حفاری وابسته به آن مثل گیرکردن لوله و ریزش ها را کاهش می دهند (Zoback, 1995). بنابراین پیشنهاد می شود که حفاری چاه های که در جهت تنش بیشینه افقی متمایل شده اند، هم می توانند بیشترین شکستگی های رسانا را قطع کنند و هم می توانند مشکلات نایابداری در چاهها را کم کنند.

ورقه عربی در فروافتادگی دزفول جنوبی سازگار هستند (شکل ۱۱). میانگین آزمیوت کوتاه شدگی بر روند عمومی تاقدیس رگ سفید در هر بخش عمود است. در مبحث تنش های بر جا، از دیاد برداشت از مخازن نیز باید لحاظ گردد. تولید بهینه از مخازن بطریعی شکاف دار شده، تابعی از آزمیوت محور چاه های حفاری است که بسیاری از شکستگی های هیدرولیکی رسانا را قطع کرده اند (Rajabi et al., 2010). از اینرو چاه های افقی که تقریباً در آزمیوت N25 در بخش شرقی و در آزمیوت N70 در بخش غربی تاقدیس رگ سفید حفر شوند، تعداد بیشتری از



شکل ۱۰. مقطع لرزه ای از سرسازند آغازی میانی. به تغییرات ضخامت ضخامت در بلندی هندیجان- ایده توجه شود. کم ضخامت شدگی کرتاسه پایینی سازند فهلیان تا پلیوسن بالایی سازند آغازی هم زمان با فعالیت گسل و برخاستگی بلندی هندیجان- ایده در خلال کرتاسه و ترشیاری است. ضخیم شدگی سازند آغازی بالایی نشانگر شروع حرکات زاگرس است که برخاستگی گسل هندیجان- ایده را بوسیله نهشتگی زیاد آغازی بالایی تا رسوبات عهد حاضر را متوقف می کند (مقطع AB در شکل ۱).



شکل ۱۱. جهات بیشینه تنش افقی در ایران و بدست آمده از پروژه جهانی تنش و چاه های مختلف نشانگر روش های محاسبه هستند (دایره ها حل سازوکار کانونی هستند. پیکان های توپر ریختگی ها هستند. (رژیم های تنش: (NF: گسل نرمال- SS: گسل امتداد لغز- TF: گسل راندگی- خطوط سیاه: رژیم تنش ناشناخته)، طول خطوط کیفیت داده ها را نشان می دهد. تنها داده های حل سازوکار زلزله های با عمق بیش از ۱۰ کیلومتر برای ایران قابل دسترس هستند (Heidbach et al., 2009). برآیند جهات تنش بیشینه افقی ENE و NNE مشاهده شده در چاه های رگ سفید (RS-D) و رگ سفید (RS-G) با جهت تنش افقی بیشینه بدست آمده از حل سازوکار کانونی زلزله ها در فروافتادگی دزفول جنوبی سازگار است. پیکان ضخیم نشانگر جهت حرکت ورقه عربی نسبت به اوراسیا است. با اعمال تغییراتی از (Rajabi et al., 2010)

## نتیجه‌گیری

تاقدیس رگ سفید در تطابق با جهات کوتاه‌شدگی افقی بدست آمده با استفاده از حل سازوکار کائونی زلزله‌ها و همچنین حرکت مطلق ورقه عربی در فروافتادگی دزفول است. لذا ما پیشنهاد می‌دهیم که در اثر تجدید فعالیت گسل‌های راستگرد مثل هندیجان-ایذه، علاوه بر چرخش محور تاقدیس، جهت کلی کوتاه شدگی در کلیت چین‌های کمربند زاگرس (امتداد شمال شرقی) می‌تواند تغییر کند و به دو امتداد در فروافتادگی دزفول تجزیه گردد. چنانچه حفاری جهت دار و افقی در جهت تنش‌های بیشینه افقی در بخش‌های مختلف تاقدیس انجام گیرد می‌توانند مشکلات ناپایداری شکستگی‌های رسانا را قطع کنند و همچنین می‌توانند مشکلات ناپایداری در چاه‌ها را کم کنند. این مورد اهمیت تعیین جهت تنش‌های برجا را در برنامه‌های توسعه میادین و جنبه‌های کاربردی بیان می‌کند.

### سپاسگزاری

این تحقیق با همکاری شرکت ملی مناطق نفت خیز جنوب انجام شده است. لذا بدین وسیله از معاونت محترم زمین شناسی گسترشی برای مساعدت و همکاری سپاسگزاری می‌شود.

در بخش شرقی چین رگ سفید شکستگی‌های کشنشی القایی و ریختگی‌ها به ترتیب آزمون‌های N25 و N115 دارند. شکستگی‌های کشنشی القایی در بخش غربی منحرف شده اند و جهت N70E را نشان می‌دهند و همچنین ریختگی چاه‌ها که عمود بر شکستگی‌های کشنشی هستند دارای جهت N160 می‌باشند. بر پایه جهت گیری شکستگی‌های القایی و ریختگی‌ها، میانگین جهات تنش افقی بیشینه زمان حال در بخش‌های غربی و شرقی تاقدیس رگ سفید به ترتیب N25E و N70E و N می‌باشد. جهات تنش بیشینه افقی مشاهده شده در چاه‌های بخش شرقی تاقدیس رگ سفید با جهت تنش بیشینه افقی از حل سازوکار کائونی زلزله ها و با جهت حرکت مطلق ورقه عربی در فروافتادگی دزفول در تطابق است و تاکید دارد که این بخش ساختار تحت فاز کوه‌زایی زاگرسی قرار دارد. همچنین جهات تنش بیشینه افقی مشاهده شده در چاه‌های بخش غربی تاقدیس رگ سفید وابسته به فعالیت مجدد گسل هندیجان-ایذه در فاز پس از کوه‌زایی است. برآیند جهات تنش بیشینه افقی شمال-شمال-شرقی و شمال شرقی مشاهده شده در چاه‌های بخش غربی و شرقی

### منابع

- عقلی، ق، چرچی، ع، سلیمانی، ب، فردین، ۵، ۱۳۹۳، استفاده از نمودارهای تصویرگر OBMI و UBI در تحلیل ساختاری شکستگی‌های سازند در تحلیل ساختار و شکستگی‌های مخزن آسماری و مقایسه با نمودارهای انحراف سرعت در یکی از میادین غرب ایران، مجله زمین شناسی کاربردی پیشرفت، شماره ۹-۱، ص ۱۱
- Aadnoy. B.S., 1990, Inversion technique to determine the in-situ stress field from fracturing data, Petrol. Sci. Engin, Vol:4, p: 12-141
- Abdollahi Fard. I., Braathen. A., Mokhtari. M., Alavi. S.A., 2006, Interaction of the Zagros Fold thrust belt and the Arabian type, deep-seated folds in the Abadan Plain and the Dezful Embayment, SW Iran, Petroleum Geoscience, Vol: 12, p: 347-362
- Bell. J.S., 1996, Petro Geoscience In situ stresses in sedimentary rocks (part 1): measurement techniques, Geosci. Can, Vol:23, p:85-100
- Ghanadian. M., Faghah. A., Abdollahie Fard. I., Kusky., T., Maleki. M., 2017, On the role of incompetent strata in the structural evolution of the Zagros fold-thrust belt, Dezful Embayment, Iran, Mar Petrol Geol, Vol:8, p: 320–333
- Heidbach. O., Tingay. M.R.P., Barth. A., Reinecker. J., Kurfeb. D., Müller. B., 2009, The World Stress Map based on the database release 2008, Commission of the Geological Map of the World, Paris, p: 46, doi:10.1594/GFZ.WSM.Map2009.
- Heidbach. O., Tingay. M.R.P., Barth. A., Reinecker. J., Kurfeb. D., Müller. B., 2010, Global crustal stress pattern based on the World Stress Map database release 2008, Tectonophysics, Vol:482, p:3-15
- Kirsch. V., 1898, Die Theorie der Elastizität und die Bedürfnisse der Festigkeitslehre, Zeitschrift des Vereines Deutscher Ingenieure, Vol:29, p:797-807
- Nelson. E.J., 2005, Transverse drilling-induced tensile fractures in the West Tuna area, Gipps land Basin, Australia, implications for the in situ stress regime, Vol:42, p:361-371.
- Plumb., R.A., Hickman. S.H., 1985, Stress-induced borehole elongation: A comparison between the Four-Arm Dipmeter and the Borehole Televiewer in the Auburn Geothermal Well, J. Geophys. Res, Vol:90, p:5513-5521
- Rajabi. M., Sherkati,. S., Bohloli. B., Tingay. M., 2010, Subsurface fracture analysis and determination of in-situ stress direction using FMI logs: An example from the Santonian carbonates (Ilam Formation) in the Abadan Plain, Iran, Tectonophysics, Vol:492, p:192-200
- Sepehr. M., Cosgrove. J.W., 2004, Structural framework of the Zagros foldthrust belt, Iran, Marine and Petroleum Geology, Vol:21, p:829-843
- Serra. O., 1989, Formation MicroScanner image interpretation. Schlumberger Educational Services.
- Soleimani. B., Amiri. K., Samani. B., Shaban. L., 2016, Lithology effects on the fractures parameters using image log and petrophysical data, Russian journal of earth scince, Vol:16, p:1-11, doi:10.2205/2016ES000581
- Tingay. M.R.P., Reinecker. J., Müller. B., 2008, Borehole breakout and drilling-induced fracture analysis from image logs, World Stress Map Project Stress Analysis Guidelines, <http://www.world-stress-map.org>.
- Tingay. M.R.P., Hillis. R.R., Morley. C.K., King. R.C., Swarbrick. E., Damit. A.R., 2009, Present-day stress and neotectonics of Brunei: implications for petroleum exploration and production, AAPG Bull, Vol:93, p:75-100

- Tingay. M.R.P., Morley C.K., Hillis. R.R. Meyer. J., 2010, Present-day stress orientation in Thailand's basins, *J. Struct. Geol.*, Vol:32, p:235-248
- Ye., S., Rabiller. P., 1998, Automated fracture detection on high resolution resistivity borehole imagery, SPE annual technical conference and exhibition, Society of Petroleum Engineers, New Orleans, Louisiana, p: 777-784.  
<https://doi:10.2118/49300-MS>
- Zoback. M.L., Moun. V.S., Suppe. J., Eaton. J.P., Healy. J.H., Oppenheimer. D., Reasenberg. P., Jones. L., Raleigh. C.B., Wong. I.G., Scotti. O., Wentworth. C., 1987, New evidence on the state of stress of the San Andreas Fault system, *Science*, Vol:238, p:1105-1111
- Zoback. M.D., 1995, Compressive and tensile failure of inclined well bores and determination of in situ and rock strength, *J. Geophys. Res.*, Vol:100, p:12791-12811